

## ГЕОЛОГИЯ И ГЕОФИЗИКА

© А.З.Ахмедов, 2018

# ВЕЩЕСТВЕННЫЙ СОСТАВ И ТЕХНОЛОГИЧЕСКИЕ ОСОБЕННОСТИ МЕДНО-ЦИНКОВЫХ РУД АРТАПИНСКОГО МЕСТОРОЖДЕНИЯ МАЛОГО КАВКАЗА

**А.З.Ахмедов**

*НИИ минерального сырья национальной геологоразведочной службы  
МЭПР Азербайджана  
АЗ1117, г.Баку, ул. Натаеван, 16*

Впервые детально оценены вещественный состав и технологические особенности колчеданного медно-цинкового минерального сырья, выявленного в 1910 году германской фирмой «Бр. Сименс». Исследования выполнены на примере двух лабораторных технологических проб руд, отобранных из разведочной штольни №2, и их смеси (1:1). Одна из проб характеризует обогащенный рудными минералами участок штольни, а другая – рядом находящиеся узкие рудоносные породы. Выявлено золото- и сереброносность руд обоих участков. Установлены формы нахождения основных рудных минералов, степень их окисленности и крутизна выделения. С учетом выявленных технологических особенностей минерального сырья, разработан и экспериментально осуществлен флотационный процесс обогащения смеси названных материалов руд, обеспечивающий получение кондиционного цинкового концентратра с промышленно значимыми содержаниями в нем золота, серебра и кадмия.

Как известно, азербайджанская часть Малого Кавказа характеризуется наличием многочисленных месторождений и рудопровозлений цветных и благородных металлов. По названному минеральному сырью наибольшее перспективным в данном регионе считается Гядабейский рудный район. Здесь еще с середины XIX века германской концессией «Бр. Сименс» производилась промышленная эксплуатация и отработка одноименного колчеданного медного золотосодержащего месторождения.

Отметим, что эксплуатация Гядабейского месторождения в те годы осуществлялась малопроизводительным, экономически хищническим и экологически далеко небезвредным способом, основанным на непосредственном металлургическом переделе руды. Так, в начальный период отрабатывались руды с содержанием меди 8-10%, затем бортовое содержание по указанному металлу было снижено до 4,5%, а к концу эксплуатации (1912- 1917 г.г.) – до 2,5% (Мамедов и др., 2005). В результате на месторождении, особенно на верхних его горизонтах, остались достаточно значимые запасы золотосодержащих медных руд, которые в настоящее

время успешно отрабатываются фирмой "AIMG R.V. Investment".

Рассматриваемое в настоящей статье Артапинское (Ново-Гореловское) медно-цинковое месторождение расположено в северо-восточной части Гядабейского рудного поля, в 1 км к северу от пос. Артапа (Ново-Гореловка). Данный рудоносный участок был выявлен в 1910 г. фирмой «Бр. Сименс» в результате проходки двух штолен. Одна из них (шт. №2) подсекла кругопадающее рудное тело в форме штока с богатым колчеданным медно-цинковым оруднением. На некоторых участках этого рудного тела содержание меди достигало 5%, а цинка – 15% (Murtuzayev, 2016). Отметим, что в тот период времени выявленное рудное тело было оконтурено не полностью.

В 2013-2015 годах на данном рудоносном участке Малокавказской геолого-поисковой экспедиции Национальной геологоразведочной службы была проведена геолого-поисковая стадия работ на комплекс ценных компонентов, а также металлы платиновой группы с прогнозной их оценкой по категории Р<sub>1</sub> (Murtuzayev, 2016). В рамках этой работы была восстановлена упомянутая выше штольня №2.

Исследования, представленные в настоящей работе, были выполнены на материале двух лабораторных технологических проб руд (общим весом 210 кг), отобранных из прямого ствола шт. №2. Одна из них характеризовалась обогащенным цинком (8,5%) и медью (0,9%) участок штолни, а вторая – рудоносные породы (в %: Zn – 0,15, Cu – 0,03, Fe – 2,0, S – 0,25), расположенные на стыке с обогащенным рудным участком. В обеих пробах установлены 0,8 и 0,25 г/т золота и 39,5 и 3,0 г/т серебра, свидетельствующие об их золото- и сереброносности.

С целью определения возможности увеличения запасов месторождения, никесописываемые детальные химико-технологические исследования минерального сырья месторождения были выполнены на смеси указанных проб руд, составленной в соотношении 1:1. Минералогическое же изучение было осуществлено раздельно на материалах обеих проб. Отметим, что для данного месторождения рассматриваемые ниже детальные исследования никем ранее не проводились.

### Вещественный состав руды

**Химический состав** материала смесевой технологической пробы руды был установлен по результатам полного химического (в том числе силикатного), комбинированного пробирно-атомно-абсорбционного (на Au, Ag, Pt, Pd), а также количественного атомно-эмиссионного с индуктивно связанным плазмой (ICAP) анализов. Последние два вида анализа выполнены в институте ЦНИГРИ, г. Москва.

Результаты указанных исследований (табл. 1) свидетельствуют, что основными промышленно значимыми ценных компонентами исследуемой пробы руды являются цинк и медь. Для полного извлечения весьма важное значение могут иметь Au, Ag и Cd. Содержание же платиновых и других металлов очень низкое, что не позволяет рассматривать их как промышленно значимые.

Таблица I

Химический состав исследуемой технологической пробы руды

№ п/п	Элементы	Содержание: %, г/т	№ п/п	Соединения	Содержание: %
1	Zn	4,35	1	SiO <sub>2</sub>	48,55
2	Cu	0,54	2	Al <sub>2</sub> O <sub>3</sub>	10,64
3	Au, г/т*	0,53	3	Fe <sub>2</sub> O <sub>3</sub> , в т. числе Fe валов.	9,90 6,93
4	Ag, г/т*	20,0	4	SO <sub>3</sub> , в т. числе S общ.	12,75 5,10
5	Pt, г/т*	0,0023	5	CaO	2,89
6	Pd, г/т*	0,0024	6	MgO	1,86
7	Cd	0,014	7	Na <sub>2</sub> O	2,52
8	Pb	0,035	8	K <sub>2</sub> O	1,21
9	As**	0,0012	9	TiO <sub>2</sub>	0,57
10	Sb**	0,0005	10	MnO	0,22
11	Co**	0,0012	11	P <sub>2</sub> O <sub>5</sub>	0,10
12	Te**	<0,0001	12	П.П.П.	3,10
13	Se**	<0,0005		Итого	94,31
14	In**	0,00012			
15	Ni**	0,00173			
16	Mo**	0,00065			
17	Ba**	1,28			
Итого		6,23			

Примечание: \* – комбинированный пробирно-атомно-абсорбционный анализ;

\*\* – атомно-эмиссионный с индуктивно связанный плазмой (ICAP) анализ

### ВЕЩЕСТВЕННЫЙ СОСТАВ И ТЕХНОЛОГИЧЕСКИЕ ОСОБЕННОСТИ.....

Положительным фактором вещественного состава рассматриваемой руды является незначительное присутствие в ней вредных примесей – мышьяка (0,0012%) и сульфур (0,0005%), жестко лимитируемых в получаемых из подобных руд концентратах цветных металлов для последующего металлургического передела.

Оцененная составление главных рудообразующих элементов (Fe, Si) и их соединений, отмечено присутствие в исследуемой пробе достаточно значимых содержаний серного ангидрида SO<sub>2</sub> (12,75%) и оксида железа Fe<sub>2</sub>O<sub>3</sub> (9,9%), что дает основание предполагать: наряду с сульфидными минералами меди и цинка в пробе присутствует также относительно большое количество сульфидов железа (пирита и притронита).

Основным пордообразующим соединением является оксид кремния (48,5%). Кроме того, в пробе наблюдаются относительно повышенные содержания оксида алюминия (10,6%), а также оксидов натрия и калия (суммарно 3,7%), что означает присутствие в ней значимых количеств минералов глин. Последние обычно осложняют технологический процесс флотационного извлечения минералов ценных компонентов из подобных руд. Наряду с указанными в пробе отмечается также некоторое количество карбонатообразующих оксидов кальция (2,9%) и магния (1,9%).

Одними из основных факторов вещественного состава руд цветных металлов, определяющими их технологические свойства, являются минеральная форма нахождения основных рудных минералов и количественные соотношения гипогенитов и гипергенитов их форм. Для оценки этих особенностей на материале исследуемой пробы был выполнен гидрометрический рациональный (фазовый) анализ на основные рудные минералы<sup>1</sup>. Анализ был осуществлен по методике, рекомендованной Н.А.Филипповой (1963).

Результаты этих исследований (табл.2) свидетельствуют, что медные минералы в испытуемой руде на 67% представлены первичным сульфидом (халькопиритом), а около 24% – вторичными сульфидами (халькоином, ковеллитом и борнитом) и незначительно (~9%) – окисленными минералами (азуритом, малахитом, купритом и др.).

Цинковые минералы почти на 63% представлены первичным сульфидом (сфалеритом), а ~27% – высококалеситовым сульфидом (марматитом), что подтверждено рассматриваемыми ниже минералогическими исследованиями. Оксиды цинка (каланит, смитсонит) в рассматриваемой пробе руды составляют всего 10,4%.

Рассматриваемые главные железосодержащие минералы руды, отметим, что основным из них является пирит (~69%). Кроме того, в руде присутствуют также притронит, оксиды и гидроксиды железа (суммарно 28%). Причем по результатам рассматриваемые ниже минералогических исследований количество оксидов и гидроксидов железа в испытуемой пробе руды незначительно. В этой связи наиболее вероятно, что рассматриваемая форма минералов железа представлена в основном притронитом.

В целом приведенные результаты рационального анализа свидетельствуют, что материал исследуемой пробы характерен для колчеданной Cu-Zn руды. По степени окисленности основных рудных минералов его можно отнести к первичному, тяготеющему к полукисленному (смесительному) типу руды. Относительно повышенное количество вторичных сульфидов меди, а также некоторое количество оксидов и гидроксидов железа в пробе, вероятно, можно объяснить весьма давним сроком вскрытия шт. №2 (1910 г.), откуда был отобран рассматриваемый материал руды.

Минералогические исследования<sup>2</sup> были выполнены посредством изучения под микроскопом ряда прозрачных шлифов и анишлифов, изготовленных из каменного материала проб, отобранных как из обогащенного рудного участка, так и из участка рудоносных пород шт. №2.

По результатам исследований анишлифов, изготовленных из материала обогащенного рудного участка, установлено, что они в различном количестве насыщены рудными сульфидными минералами. При этом по степени насыщения сульфидами можно выделить анишлифы, характеризующие прожилковый (5–10% сульфидов), густо прожилковый (до 30–35%) и менее часто – массивный (50–60%) типы руды. По количественному составу главным рудным минералом является сфалерит, затем следует пирит, далее халькопирит и в меньшем количестве притронит.

<sup>1</sup> исследования выполнены доктором философии по химическим наукам А.Ш.Шибабовой

<sup>2</sup> исследования выполнены А.М.Ахмедовым

Таблица 2

Показатели рационального (фазового) анализа основных рудных минералов

Металл	Формы нахождения минералов	Абсолютное содержание металла, %	Распределение минеральных форм, %
Медь	Сульфаты (водороставимые)	0	0
	Оксиды (аурит, малахит, куприт и др.)	0,049	8,9
	Вторичные сульфиды (ковеллин, борнит)	0,131	23,7
	Первичный сульфид – халькопирит	0,371	67,4
Цинк	Медь в руде по балансу	0,551	100
	Оксиды (каламин, смитсонит)	0,44	10,4
	Первичный сульфид (сфalerит)	2,66	62,7
	Высокожелезистый сульфид (марматит) и алюмосиликаты	1,14	26,9
Железо	Цинк в руде по балансу	4,24	100
	Пирротин, оксиды, гидроксиды	1,62	28,2
	Пирит и частично халькопирит	3,95	68,6
	Другие железосодержащие	0,18	3,2
	Железо в руде по балансу	5,75	100

Особо следует отметить, что в руде с про-жилковой текстурой установлено наличие чрез-вычайно мелких – эмульсионных зерен халько-пирита внутри сфалерита (рис.1). Этот природ-ный факт, обусловленный генезисом рассматриваемого месторождения, позволяет, по нашему мнению, предположить возможность наличия на его глубоких горизонтах значительно более крупного рудного тела.

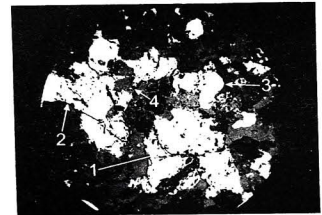


Рис. 1. Руда с вкрапленной текстурой: сфалерит с эмульсионной вкрапленностью халькопирита (1); стросток халько-пирита и сфалерита (2); стросток пирита и сфалерита (3); радиальные зерна ковеллина (4). Анишлиф, увеличение 56,7 $\times$

Необходимо также указать, что присут-ствие в руде чрезвычайно тесной ассоциации сфалерита с халькопиритом обусловлит в техно-

логическом процессе переработки этого минерального сырья определенную трудность селек-тивного отделения халькопирита от сфалерита. Более подробно о данной особенности исследуемой руды будет рассмотрено далее в разделе технологическая характеристика руды.

Наряду с отмеченными, в анишлифах установ-лены тонко прожилковый халькопирит-пирит-пирротиновый тип руд, в пирите которого при большом увеличении (~600 $\times$ ) зафиксировано очень мелкое – точечное зернышко **самородного золота** (рис. 2). Данный фактор подтверждает золотосно-стость рассматриваемого рудного участка.



Рис. 2. Самородное золото (5), выявленное в пирит-пирротин-халькопиритовом типе руды: пирит (1); пирротин (2); халькопирит (3); блеклая руда (4). Анишлиф с иммерсией, увеличение 598,5 $\times$

## ВЕЩЕСТВЕННЫЙ СОСТАВ И ТЕХНОЛОГИЧЕСКИЕ ОСОБЕННОСТИ.....

В анишлифах встречается также незначи-тельно окисленная пиритовая руда (без других сульфидов). Здесь реликтовые зерна пирита ча-стично покрыты или же полностью замещены гетитом.

Просмотр прозрачных шлифов показал, что исследуемый материал характеризуется нескольки-ми типами нерудных пород, в том числе: биотит-плагиоклаз-кварцевыми роговиками; биотит-плагиоклаз-шишневыми роговиками; крупными зернами биотит-плагиоклаз-андезитовыми изме-ненными габриевыми породами; кварц-серпентиновыми метасоматитами. Во всех шлифах наблюдается от 2 до 15–20% рудных минералов.

В шлифе, характеризующем оруденение биотит-плагиоклаз-кварцевые роговики, уста-новлены зерна сфалерита. Агрегаты последнего отмечаются в глубоких трещинах. Размеры сфалерита варьируют в пределах 0,04–0,4 мм, со-ставляя в среднем около 0,2 мм. В проходящем свете чётко выделяются две разновидности сфалерита (рис. 3): тёмно-коричневый железосо-дергийский **марматит** ( $ZnFeS$ ) и янтарно-желтый **клейофан** ( $ZnS$ ), при этом количество первого (темного) преобладает. Этот факт сви-детельствует о том, что выделение из исследуемой руды высококачественного цинкового кон-центраты ( $Zn \geq 50\%$ ), лимитируемого по содержа-нию железа, представляется сомнительным.

Следует отметить, что наличие в рудах Арта-пинского (Ново-Горловского) месторождения «черной цинковой обманки» (марматита) отме-чено также в работе В.М. Баба-заде и др. (2003).



Рис. 3. Вкрапленная руда – метасоматит (1): сфалерит (2) различного цвета – от светло-желтого (клейофан) до темно-коричневого (марматит); не просвечивающийся рудный минерал (3). Шлиф, увеличение 100 $\times$

Изучением анишлифов материала участка на-ходоносных пород установлено, что они пред-ставлены равномерной редкой вкрапленностью

магнетита и гематита, а также единичными мел-кими зернами сульфидных минералов. По ре-зультатам этих исследований материал данного участка штолни может характеризоваться как убогая сульфидная руда.

При исследовании прозрачных шлифов определено, что данный участок представлен биотит-плагиоклазовыми роговиками с кварци-хлорит-эндот-содержащими прожилками.

В целом, результаты минералогических иссле-дований свидетельствуют, что материал пробы обогащенного рудного участка шт. №2 ха-рактеризует богатую колчеданную медно-цинковую руду, главными рудными минералами которой являются (по количественному убы-вию): **сфалерит**, **тирит**, **халькопирит** и **тирро-лит**. **Сфалерит** представлен в виде разновидностей: железосодержащий **марматит** и **клейофан** с относительно высокой их крупно-стью (в среднем ~0,2мм). **Халькопирит** пред-ставлен в основном очень мелкими – эмуль-сионными вкраплениями в сфалерите, что, как было отмечено выше, приведет к трудности его селективного выделения из руды.

Пробу, отобранныю из участка рудонос-ных пород, следует характеризовать как убогую сульфидную руду, что обуславливает возмож-ность отработки ее совместно с рудой обога-щенного участка. Положительные результаты этих исследований позволят, по нашему мне-нию, увеличить запасы месторождения. Иссле-дования, выполненные в этом направлении на смесях указанных проб руд (1:1), рассматрива-ются далее.

### Технологическая характеристика смеси руд

Основным методом переработки колче-данных руд цветных металлов является флота-ционный способ обогащения, основанный на практическом использовании различных в физи-ко-химических поверхностных свойствах минералов руды по их способности прилипать к пузырькам воздуха в водной среде (Абрамов, Лео-нов, 1993).

Не вдаваясь в сущность и детали этого физико-химического процесса, отметим, что для эффективного селективного выделения ценных компонентов из колчеданных руд существенное значение имеет правильный выбор технологиче-ской схемы флотации, обуславливаемой их ве-щественным составом и технологическими осо-бенностями.

В мировой практике обогатительных фабрик Cu-Zn руд используются в основном 2 варианта технологических схем: прямая селективная флотация ценных компонентов; предварительная коллективная флотация всех сульфидов с последующим разделением (селективной коллективной концентрации) (Методические рекомендации..., 2006). Обе эти схемы были экспериментально испытаны на рассматриваемой смесевой пробе руды.

Эксперименты по схеме прямой селективной флотации, как и предполагалось, не дали удовлетворительных результатов. В медном узле флотации, несмотря на относительно тонкое измельчение руды (90% <0,075мм), совместно с халькопиритом активно флотируется сфalerит. Попытки депрессировать последний различными флоторегентами не способствовали улучшению показателей селекции названных минералов. Данный факт подтверждает результаты ранее представленных минералогических исследований, свидетельствующих о наличии в испытуемой руде чрезвычайно мелкого – эмульсионного халькопирита, тесно ассоциирующего со сфалеритом (см. рис. 1), что нивелирует технологический процесс.

Эксперименты по схеме коллективно-селективной флотации были установлены более удовлетворительные показатели. Так, на относительно более крупном материале руды (70–75% кл. <0,075мм) в оптимальных условиях коллективного узла флотации всех сульфидов был получен черновой флотоконцентрат с содержаниями, в %: меди – 2,75, цинка – 24,1 и железа – 13,1. При этом степень извлечения меди, цинка и железа в этот продукт составила соответственно: 83, 87 и 31%. Одновременно в рассматриваемый продукт извлекаются значимые количества содержащихся в руде Au, Ag и Cd.

Исследования по изысканию оптимального режима селекции данного концентрата были направлены на разделение получения кондиционного медного и цинкового концентратов. Операция селекции минералов названных металлов осуществлялась посредством изыскания оптимальных реагентных режимов депрессии медных минералов и сульфидов железа (пирита и пирротина) при переменном донизмельчении материала этого концентрата вплоть до круtenessи 98% кл. <0,075мм (в том числе 90–92% кл. <0,045мм).

В результате этих экспериментов было установлено, что даже при указанном чрезвычайно тонком измельчении коллективного концентрата удовлетворительного показателя степени от-

деления медных минералов от цинковых не наблюдается. В подобном оптимальном режиме флотации был получен кондиционный цинковый концентрат (40–45% Zn), в котором содержание лимитируемой меди не опускалось ниже 3,8–4,0%. Этот фактор ещё раз подтверждает чрезвычайную тесную природную ассоциацию (взаимопроникание) халькопирита и сфалерита. Кроме меди, в цинковом концентрате наблюдается также относительно высокое содержание лимитируемого железа (12–13%), что обусловлено, как было отмечено ранее, наличием в испытуемом минеральном сырье железосодержащей разновидности сфалерита – марматита (см.рис.3), а также возможным присутствием в концентрате некоторого количества пирита и пирротина. Попытки депрессировать последние показала возможность повышения качества цинкового концентрата, однако в этом случае наблюдается заметное снижение степени извлечения цинка из руды. Данное обстоятельство свидетельствует, что часть сфалерита в руде тесно ассоциировано с названными сульфидами железа.

На основании кратко рассмотренных выше технологических исследований или переработки колчеданных Cu-Zn руд Артапинского месторождения рекомендована и экспериментально осуществлена коллективно-селективная схема флотации, представленная на рис.4.

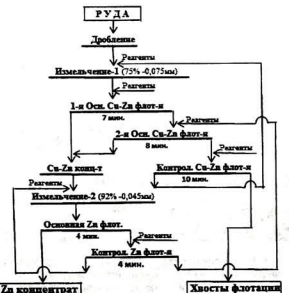


Рис. 4. Рекомендуемая принципиальная флотационная технологическая схема переработки минерального сырья Артапинского месторождения

## ВЕЩЕСТВЕННЫЙ СОСТАВ И ТЕХНОЛОГИЧЕСКИЕ ОСОБЕННОСТИ.....

По этой схеме на 5 навесках испытуемой руды весом по 1кг был осуществлен эксперимент замкнутого цикла флотации, имитирующий беспрерывное промышленное производство. В технологическом режиме схемы использованы стандартные флоторегенты, применяемые в практике переработки подобных руд. Количественные технологические показатели, полученные в этом опыте, представлены в табл. 3.

Результаты этого эксперимента (табл.3) свидетельствуют, что разработанный технологический режим рекомендуемой схемы флотации обеспечивает относительно высокие показатели выделения из рассматриваемого минерального сырья кондиционного цинкового концентрата. В последнем содержание основного металла – чрезвычайно мелкими – эмульсионными краплениями в сфалерите, что свидетельствует о трудности и неэффективности его селективного выделения из руды. Кроме того, учитывая предполагаемый генезис месторождения, такое природное состояние значительной части халькопирита дает основание рассматривать возможность наличия на глубоких его горизонтах более крупного рудного тела.

Кроме того, следует отметить, что практическая идентичная степень извлечения кадмия и цинка в цинковый концентрат (табл.3) свидетельствует, что сфалерит в данном минеральном сырье кадмийсодержащий и кадмий, вероятно, в основном изоморфно связан со сфалеритом.

## Заключение

Детально исследованы вещественный состав и технологические особенности минерального сырья Артапинского месторождения. Установлено, что основное рудное тело месторождения, расположение в его в раздольной штольне №2, представлено относительно богатой медно-

цинковой колчеданной рудой со значимыми содержаниями в ней золота, серебра и кадмия.

Вещественный состав рудоскопов пород, находящихся близ основного рудного тела, позволяет характеризовать их как золотоносные узкие сульфидные руды. Данный фактор обуславливает возможность отработки их совместно с минеральным сырьем основного рудного тела, и, следствие, позволяет увеличить запасы месторождения.

Минералогическими исследованиями выявлено, что главными рудными минералами в основном рудном теле являются сфалерит, пирит, халькопирит и незначительно пирротин. Причём халькопирит представлен в основном чрезвычайно мелкими – эмульсионными краплениями в сфалерите, что свидетельствует о трудности и неэффективности его селективного выделения из руды. Кроме того, учитывая предполагаемый генезис месторождения, такое природное состояние значительной части халькопирита дает основание рассматривать возможность наличия на глубоких его горизонтах более крупного рудного тела.

Сфалерит в руде характеризуется двумя разновидностями: темно-коричневым железосодержащим марматитом и янтарно-жёлтым kleйфонаем. При этом количественно марматит преобладает, что обуславливает невозможность выделения из рассматриваемой руды высокосортного цинкового концентрата (Zn ≥50%, лимитируемого по содержанию железа).

Технологические исследования выполнены на смеси проб основного рудного тела и участка рудоносных пород шт. №2 в соотношении 1:1. Специальным гидрохимическим фазовым анализом смесевой пробы установлены количественные формы нахождения в ней основных рудных минералов и степень их окисленности, свидетельствующая о первичном характере материала данной руды.

Таблица 3

Технологические показатели рекомендуемой схемы флотации

Продукты флотации	Выход, %	Содержание, %, г/т					Извлечение, %						
		Zn, %	Au, г/т	Ag, г/т	Cd, г/т	Cu, %	Fe, %	Zn	Au	Ag	Cd	Cu	Fe
Zn концентрат	8,37	44,17	3,13	142,7	1390	3,90	11,95	86,6	58,8	66,4	86,3	53,4	15,7
Хвосты флотации	91,63	0,625	0,20	6,6	20,0	0,24	5,85	13,4	41,2	33,6	13,7	46,6	84,3
Руда по балансу	100	4,27	0,49	18,0	135,0	0,49	6,36	100	100	100	100	100	100